

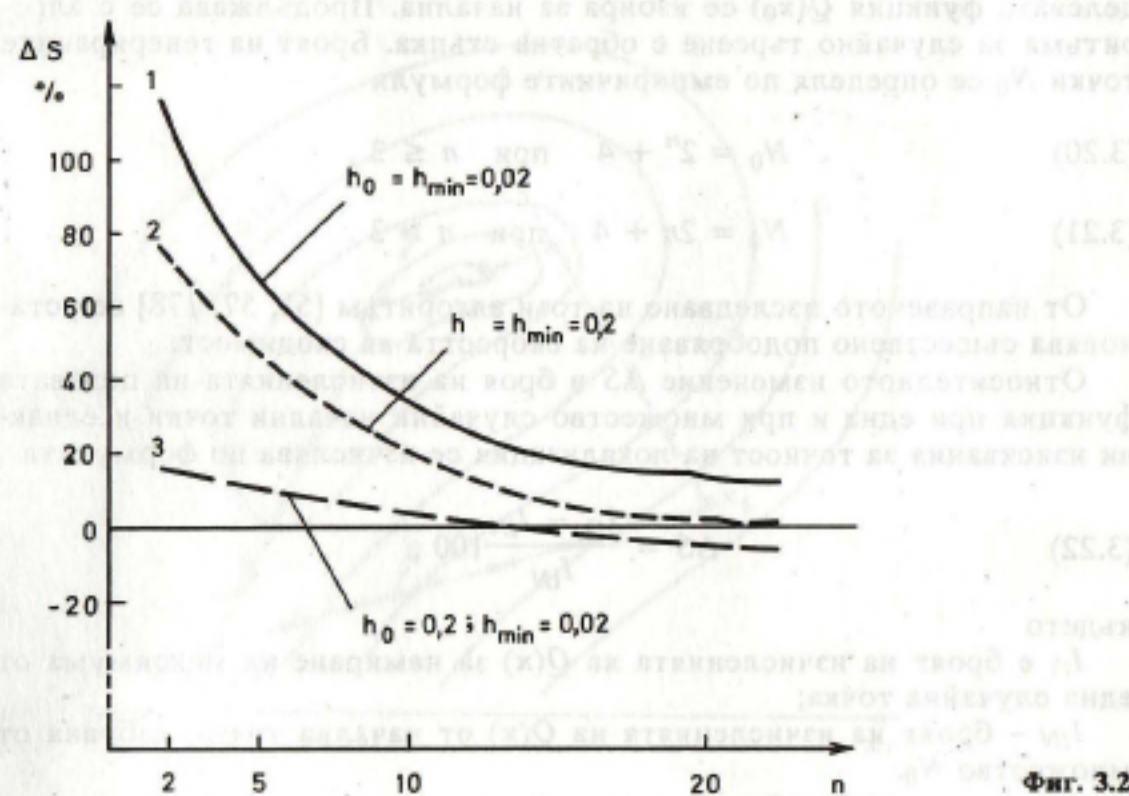
На фиг. 3.20 е показано ΔS в зависимост от различен брой управляващи параметри $n = 2, 5, 10$ и 20 и различни начални h_{0i} и крайни стъпки h_{mini} ($i = 1, 2, \dots, n$). Кривите $1 - 3$ са построени от осреднени резултати за I_{t1} и I_{tN} от по 20 търсения на екстремум за всяко n и за всяка целева функция. При всяко търсене е генерирана нова случаена начална точка или ново множество N_0 . От фиг. 3.20 се вижда, че скоростта на сходимост на случаиното търсене с обратна стъпка се повишава при множество начални точки и постоянна стойност на параметъра на стъпката.

При голям брой управляващи параметри ($n > 10$) броят на точките N_0 , изчислен по (3.21), съществено се увеличава и ефективността намалява (крива 3). Ето защо се препоръчва $N_0 = n + 4$ при $n > 10$.

Скоростта на сходимост може да се повиши още повече, ако началният алгоритъм е случаино търсене с голям параметър на стъпката и начална точка, избрана от множество и долокализиране на екстремума с друг алгоритъм, например градиентен.

*
* *

През последните години методите на случаиното търсене се развиха и намериха широко приложение за решаване на инженерни задачи. Те са предпочтитани от изследователите, тъй като не изискват задаване или оценка на градиента на целевата функция. Критериите за спи-



Фиг. 3.20

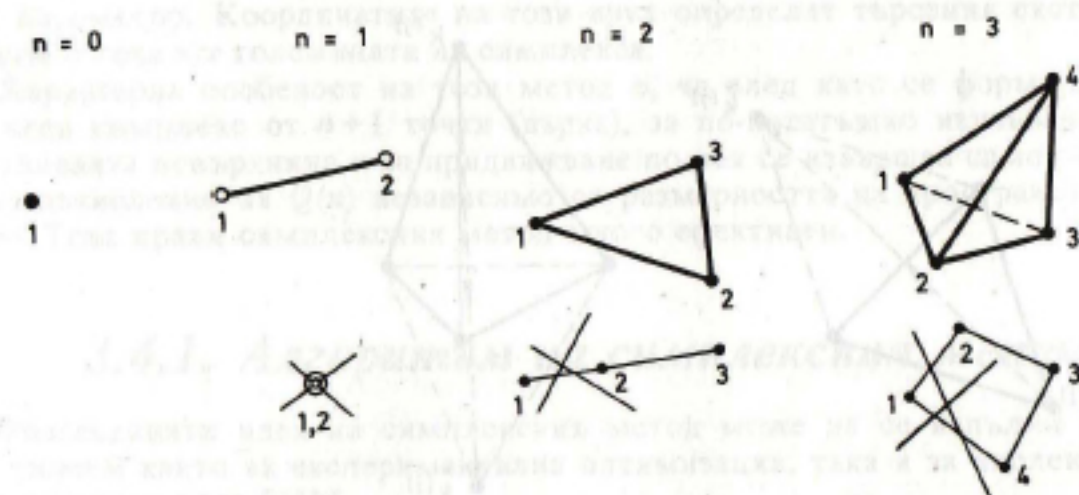
ране при тях са по-детерминирани, лесни са за програмиране, позволяват организиране на адаптивни алгоритми и алгоритми за търсене на глобален екстремум.

Според изследванията на Растригин [39] методът на случаиното търсене е по-ефективен при по-голям брой управляващи параметри ($n > 4$), тъй като независимо от броя им пространството се разделя винаги на две области – успешна и неуспешна, и вероятността да се попадне в едната или другата не зависи от n .

3.4. Симплексен метод за нелинейна оптимизация

Симплексният метод за оптимизация е метод за едновременно изучаване на целевата повърхнина и за движение към екстремума въз основа на изчисления на целевата функция в точки, които образуват симплекс в пространството на управляващите параметри.

В n -мерното Евклидово пространство симплексът е многостен, образуван от $n + 1$ точки (върха), нележащи едновременно в нито едно $(n-1)$ -мерно подпространство на n -мерното пространство. Симплексът в нуломерното пространство е точка, а в едномерното – две точки (отсечка), които не съвпадат. В двумерното пространство симплексът представлява триъгълник и трите точки не могат да лежат на една права линия, в тримерното симплексът има четири върха (пирамида), в четиримерното – пет върха и т.н. На фиг. 3.21 са показани симплекси до тримерно пространство. Задрасканите фигури не отговарят на условието за симплекс.



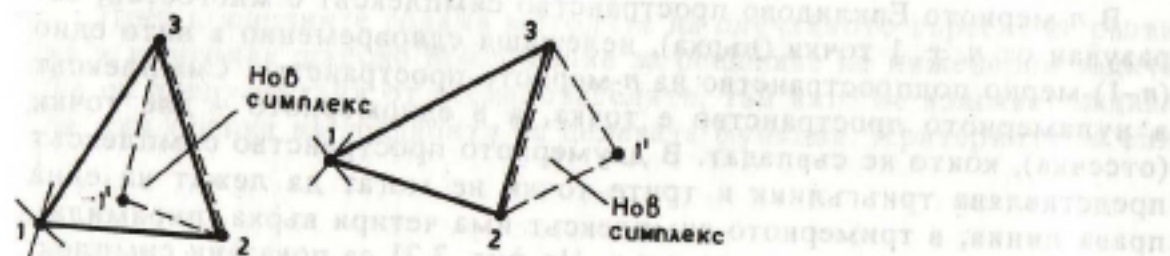
Фиг. 3.21

Регулярен симплекс се нарича симплекс с еднакви разстояния между върховете му.

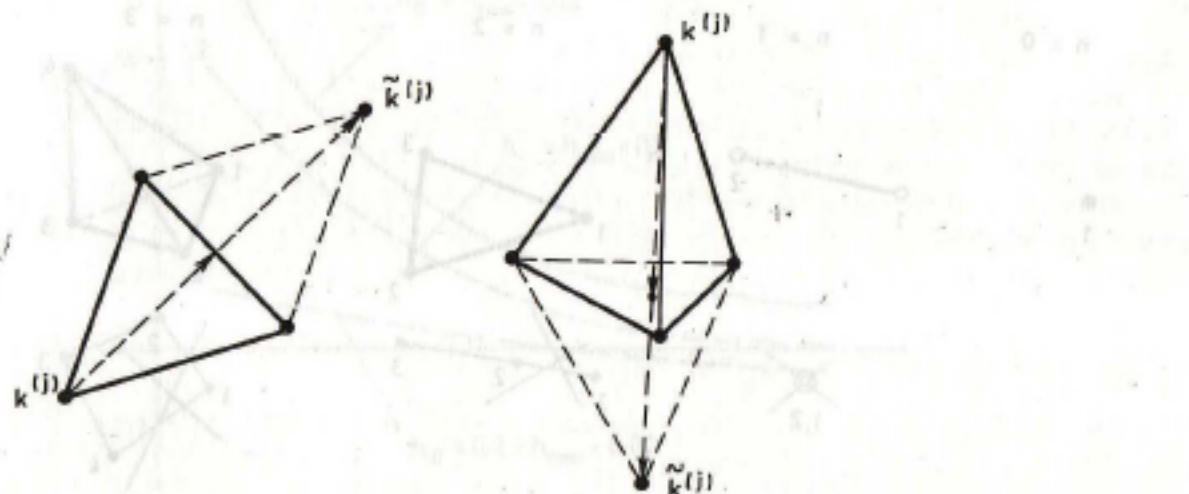
При оптимизацията се използва следното важно свойство на симплекса: от всеки симплекс може да се построи нов, ако се отхвърли само един върх и на негово място се добави нов (фиг. 3.22). Тъй като срещу всеки върх $k^{(j)}$ е разположена само една стена на симплекса, нов симплекс се построява, ако се добави нов върх (точка) $\tilde{k}^{(j)}$, симетрично отразен чрез срещуположната стена. За регулярните симплекси това отразяване е огледално спрямо срещуположната стена на симплекса.

Полученият симплекс заема нова област в n -мерното пространство. По този начин, като последователно се отхвърлят върхове и се добавят нови, симетрично отразени на тяхно място, симплексът се премества в пространството (фиг. 3.23).

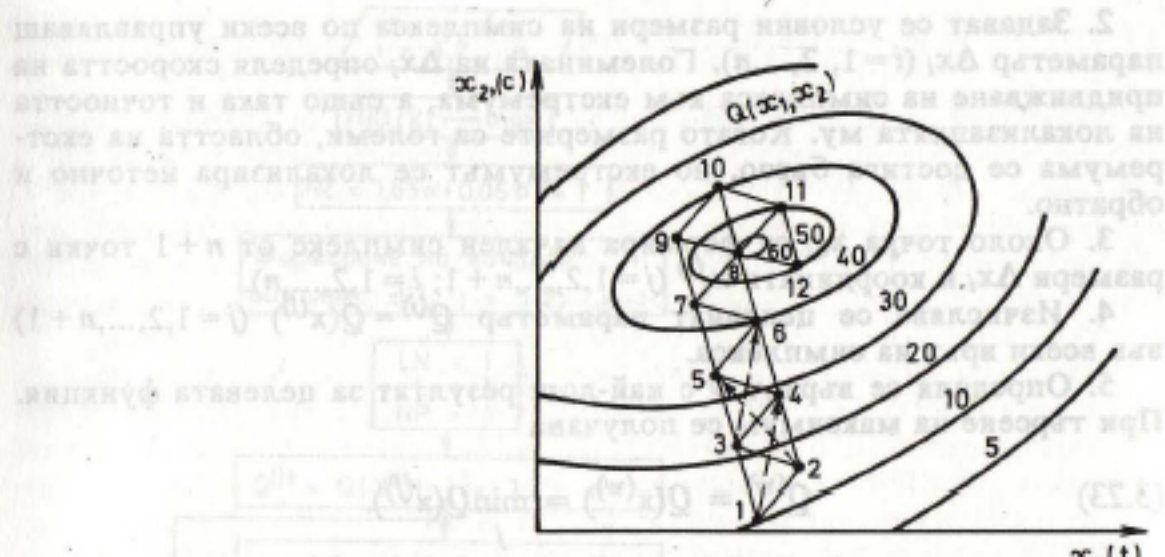
Въз основа на това свойство на симплекса Спенди, Хекст и Химсърт са предложили ефективен метод за оптимизация [169]. Графичната интерпретация на метода е показана на фиг. 3.24.



Фиг. 3.22



Фиг. 3.23



Фиг. 3.24

При два управляващи параметъра с формиран начален симплекс 1, 2, 3. Във всеки върх на симплекса (точка) се определя $Q(x)$. Отхвърля се върхът 1 с най-лош резултат за целевата функция и се изчисляват координатите на нов върх 4 чрез симетрично отразяване на върх 1 спрямо страната 2 – 3. В т. 4 се определя $Q(x)$. След това се отразява върхът 2 с най-лош резултат за симплекс 2, 3, 4. Получава се върхъ 5 и т.н. При това заместване на върховете от симплекса с най-лош резултат с нови върхове симплексът се премества последователно в посока на максимума. В областта на екстремума симплексът се зацикли, т.е. започва да се върти около една точка с максимална стойност на целевия параметър. Координатите на този върх определят търсения екстремум с точност големината на симплекса.

Характерна особеност на този метод е, че след като се формира начален симплекс от $n+1$ точки (върха), за по-нататъшно изучаване на целевата повърхнина и за придвижване по нея се извършва само по едно изчисление на $Q(x)$ независимо от размерността на пространството. Това прави симплексния метод много ефективен.

3.4.1. Алгоритъм на симплексния метод

Разгледаната идея на симплексния метод може да се изпълни в алгоритъм както за експериментална оптимизация, така и за числена оптимизация чрез ЕИМ.

1. Избира се начална точка в допустимото пространство на управляващите параметри x_{0i} ($i = 1, 2, \dots, n$), около която ще се формира симплекс.

2. Задават се условни размери на симплекса по всеки управляващ параметър Δx_i ($i = 1, 2, \dots, n$). Големината на Δx_i определя скоростта на придвижване на симплекса към екстремума, а също така и точността на локализацията му. Когато размерите са големи, областта на екстремума се достига бързо, но екстремумът се локализира неточно и обратно.

3. Около точка x_0 се формира начален симплекс от $n+1$ точки с размери Δx_i и координати $x_i^{(j)}$ ($j = 1, 2, \dots, n+1; i = 1, 2, \dots, n$).

4. Изчислява се целевият параметър $Q^{(j)} = Q(x^{(j)})$ ($j = 1, 2, \dots, n+1$) във всеки връх на симплекса.

5. Определя се върхът w с най-лош резултат за целевата функция. При търсене на максимум се получава

$$(3.23) \quad Q^{(w)} = Q(x^{(w)}) = \min_j Q(x^{(j)}).$$

Ако се получат няколко върха с най-лош резултат, избира се един от тях по случаен начин (вж. т. 7 и 9, фиг. 3.24).

6. Изчисляват се координатите на нов връх $x_i^{(k)}$ ($i = 1, 2, \dots, n$), който е симетрично отразен спрямо връх $x_i^{(w)}$.

7. В новополучения връх се изчислява целевата функция $Q^{(k)} = Q(x^{(k)})$.

8. Новополученият връх се приема за връх на симплекса на място на отразения.

9. Алгоритъмът се повтаря от т. 5. Ако се окаже, че в новия симплекс най-лошият резултат е в новополучения връх, за отразяване се приема този от следващите върхове, който е с най-лош резултат за целевата функция $x^{(w1)}$. Например на фиг. 3.24 след отразяване на връх 7 в новополучения симплекс 8, 9, 10 най-лош резултат се получава в новия връх 10, затова се отразява връх 9.

10. Критерий за достигане на екстремума и спиране на търсенето е зациклиянето на симплекса около един връх (т. 8, фиг. 3.24). В многоизмерното пространство това зациклияне може да се установи, когато един връх x^b с най-добър резултат за целевата функция Q^b остава непроменен след N_c последователни премествания на симплекса. N_c се определя по емпиричната формула

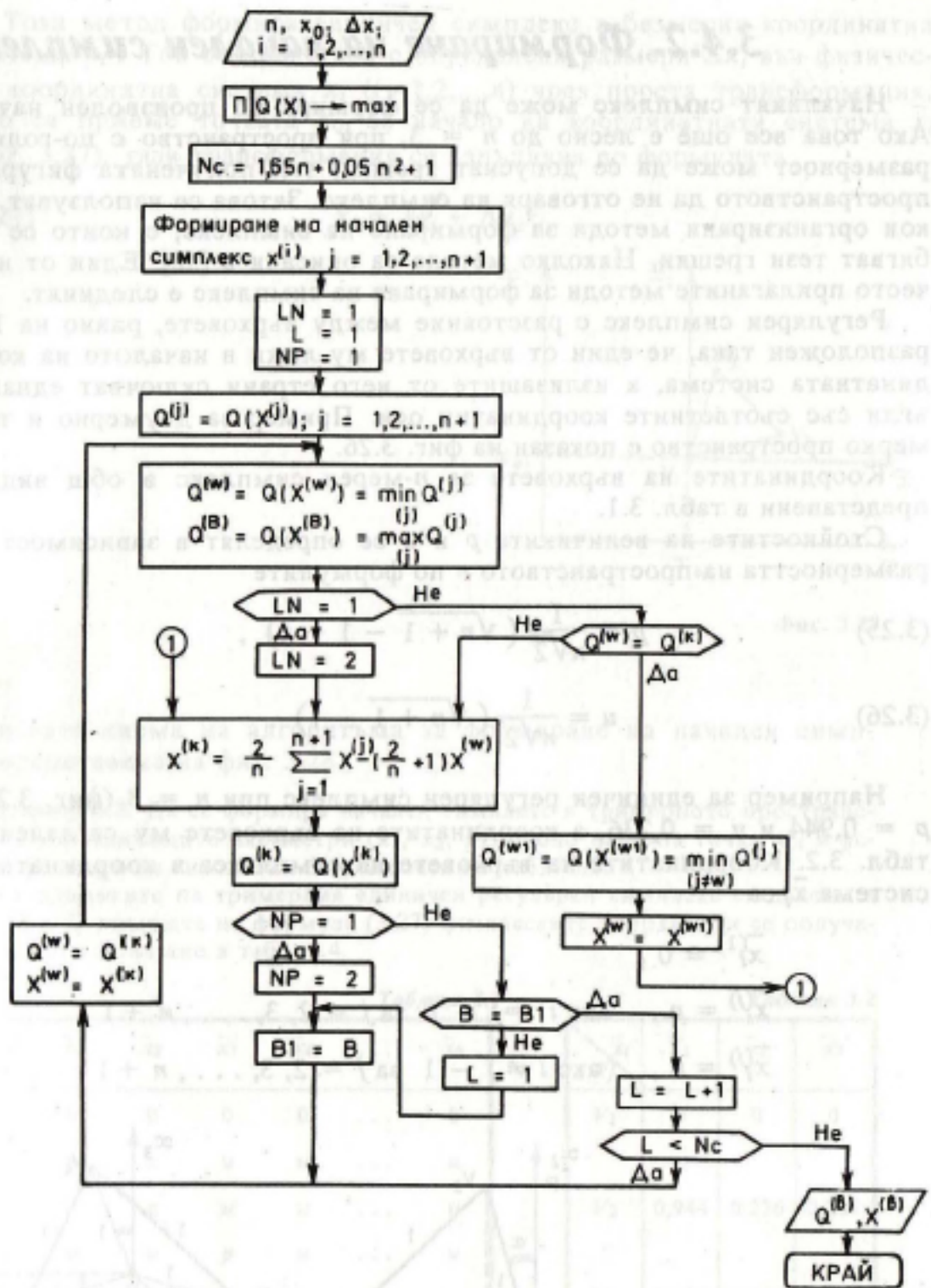
$$(3.24) \quad N_c = 1,65n + 0,05n^2 + 1,$$

където n е броят на управляващите параметри.

11. След зациклияне на симплекса, ако точността не е задоволителна, около връха с най-добър резултат се формира нов симплекс с намалени размери Δx_i и търсенето продължава отново от т. 4.

Окрупненият блоков алгоритъм на симплексния метод е показан на фиг. 3.25.

За да се реализира алгоритъмът, необходимо е да се разгледа как



се формира начален симплекс и как се отразява върхът с най-лош резултат.

3.4.2. Формиране на начален симплекс

Началният симплекс може да се формира по произволен начин. Ако това все още е лесно до $n = 3$, при пространство с по-голяма размерност може да се допуснат грешки, т.е. получената фигура в пространството да не отговаря на симплекс. Затова се използват някои организирани методи за формиране на симплекс, с които се избегват тези грешки. Няколко метода са описани в [58]. Един от най-често прилаганите методи за формиране на симплекс е следният.

Регулярен симплекс с разстояние между върховете, равно на 1, е разположен така, че един от върховете му лежи в началото на координатната система, а излизашите от него страни склучват еднакви ъгли със съответните координатни оси. Пример за двумерно и тримерно пространство е показан на фиг. 3.26.

Координатите на върховете за n -мерен симплекс в общ вид са представени в табл. 3.1.

Стойностите на величините p и u се определят в зависимост от размерността на пространството n по формулите

$$(3.25) \quad p = \frac{1}{n\sqrt{2}} (\sqrt{n+1} - 1 + n),$$

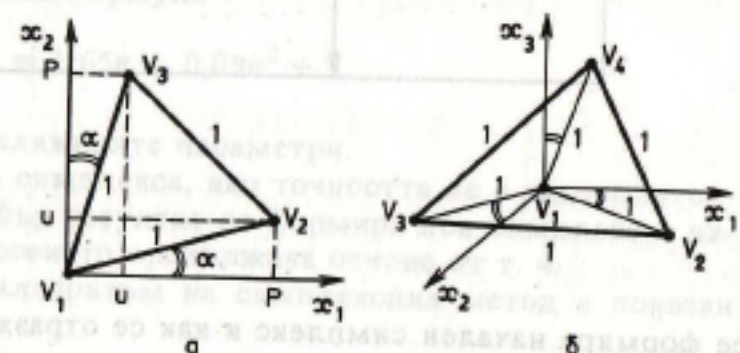
$$(3.26) \quad u = \frac{1}{n\sqrt{2}} (\sqrt{n+1} - 1).$$

Например за единичен регулярен симплекс при $n = 3$ (фиг. 3.26б) $p = 0,944$ и $u = 0,236$, а координатите на върховете му са дадени в табл. 3.2. Координатите на върховете на симплекса в координатната система \bar{x}_i са

$$\bar{x}_i^{(1)} = 0,$$

$$\bar{x}_i^{(j)} = p, \text{ ако } i = j - 1 \text{ за } j = 2, 3, \dots, n + 1,$$

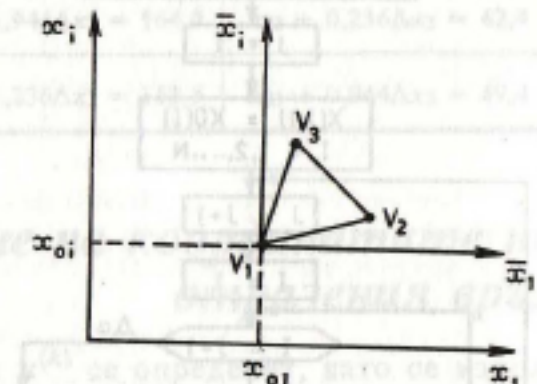
$$\bar{x}_i^{(j)} = u, \text{ ако } i \neq j - 1 \text{ за } j = 2, 3, \dots, n + 1.$$



Фиг. 3.26

Този метод формира единичен симплекс в безмерна координатна система \bar{x}_i . Той се представя с определени размери Δx_i във физическа координатна система x_i ($i = 1, 2, \dots, n$) чрез праста трансформация. Ако се приеме точката x_{0i} за начало на координатната система x_i (фиг. 3.27), тази трансформация се изпълнява по формулата

$$(3.27) \quad x_i = x_{0i} + \Delta x_i \bar{x}_i.$$



3.4.3. Определение на координатите на върховете на симплекса

Фиг. 3.27

Блоковата схема на алгоритъма за формиране на начален симплекс е представена на фиг. 3.28.

Пример 3.2. Да се формира начален симплекс в тримерното пространство на управляващите параметри (x_1, x_2, x_3) около начална точка x_{0i} и условни размери на симплекса Δx_i , посочени в табл. 3.3.

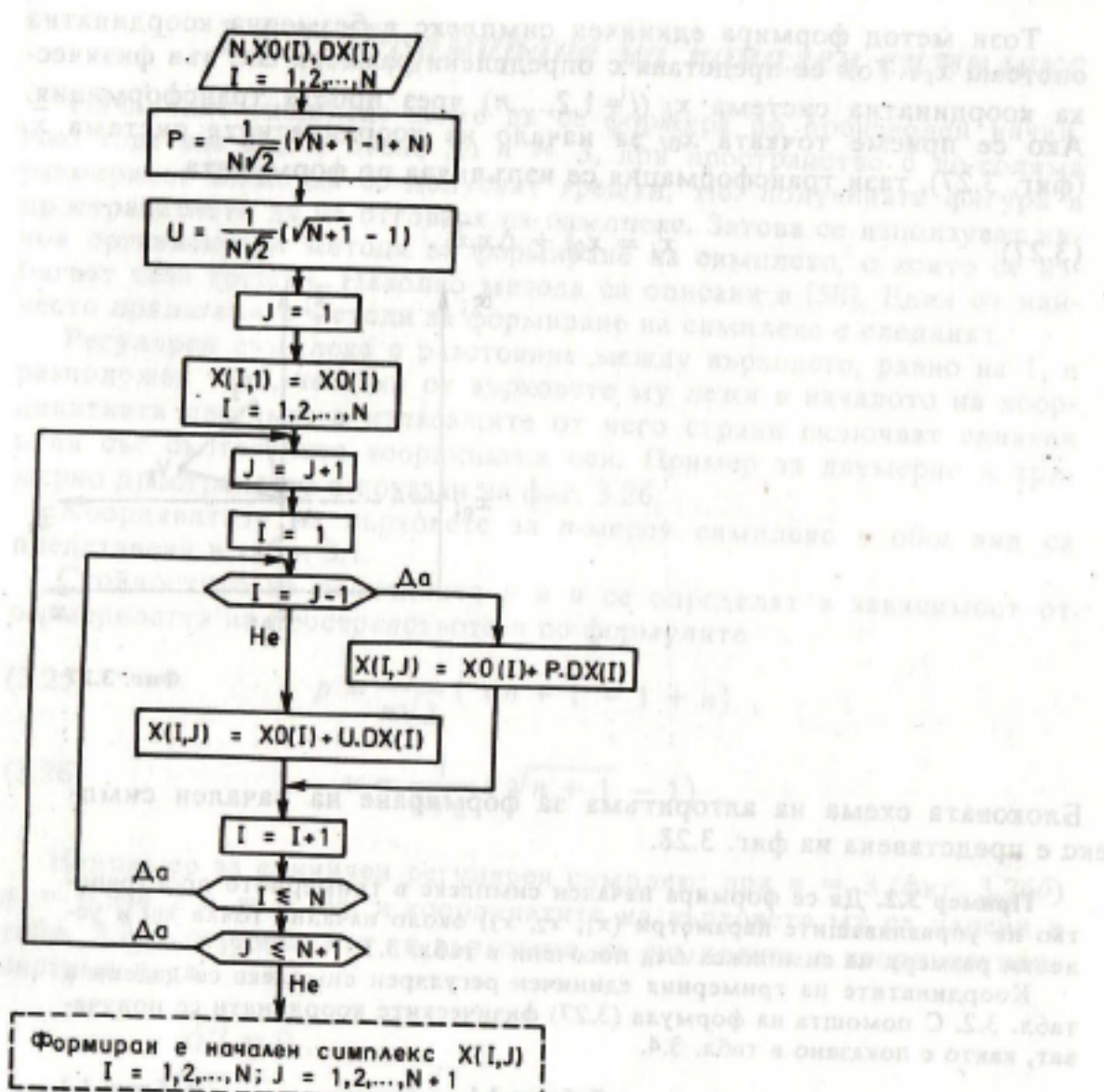
Координатите на тримерния единичен регулярен симплекс са дадени в табл. 3.2. С помощта на формула (3.27) физическите координати се получават, както е показано в табл. 3.4.

Таблица 3.1

\bar{x}_i V_j	\bar{x}_1	\bar{x}_2	\bar{x}_3	\bar{x}_4	...	\bar{x}_n
V_1	0	0	0	0	...	0
V_2	p	u	u	u	...	u
V_3	u	p	u	u	...	u
V_4	u	u	p	u	...	u
V_5	u	u	u	p	...	u
...
V_{n+1}	u	u	u	u	...	p

Таблица 3.2

\bar{x}_i V_j	\bar{x}_1	\bar{x}_2	\bar{x}_3
V_1	0	0	0
V_2	0,944	0,236	0,236
V_3	0,236	0,944	0,236
V_4	0,236	0,236	0,944



Фиг. 3.28

	x1	x2	x3
	%	°C	min
x0i	10	150	40
Δxi	2	15	10

Таблица 3.3

Таблица 3.4

Връх	x1,%	x2, °C	x3, min
V1	x01 + 0 = 10,0	x02 + 0 = 150,0	x03 + 0 = 40,0
V2	x01 + 0,944Δx1 = 11,90	x02 + 0,236Δx2 = 153,5	x03 + 0,236Δx3 = 42,4
V3	x01 + 0,236Δx1 = 10,47	x02 + 0,944Δx2 = 164,0	x03 + 0,236Δx3 = 42,4
V4	x01 + 0,236Δx1 = 10,47	x02 + 0,236Δx2 = 153,5	x03 + 0,944Δx3 = 49,4

3.4.3. Определяне на координатите на отразения връх

Координатите на отразения връх $\mathbf{x}^{(k)}$ се определят, като се използват свойствата на отразяването. Новият връх е разположен симетрично на най-лошия $\mathbf{x}^{(w)}$ относно срещуположната стена на симплекса и лежи на права, която преминава през центъра на тежестта $\bar{\mathbf{x}}$ (фиг. 3.29). Координатите на центъра на тази стена се определят от вектора $\mathbf{x}^{(c)}$:

$$(3.28) \quad \mathbf{x}^{(c)} = \frac{1}{n} \left(\sum_{j=1}^{n+1} \mathbf{x}^{(j)} - \mathbf{x}^{(w)} \right).$$

За да се намерят координатите на новия връх, се използва векторното равенство

$$(3.29) \quad \mathbf{x}^{(k)} = \mathbf{x}^{(w)} + 2(\mathbf{x}^{(c)} - \mathbf{x}^{(w)}).$$

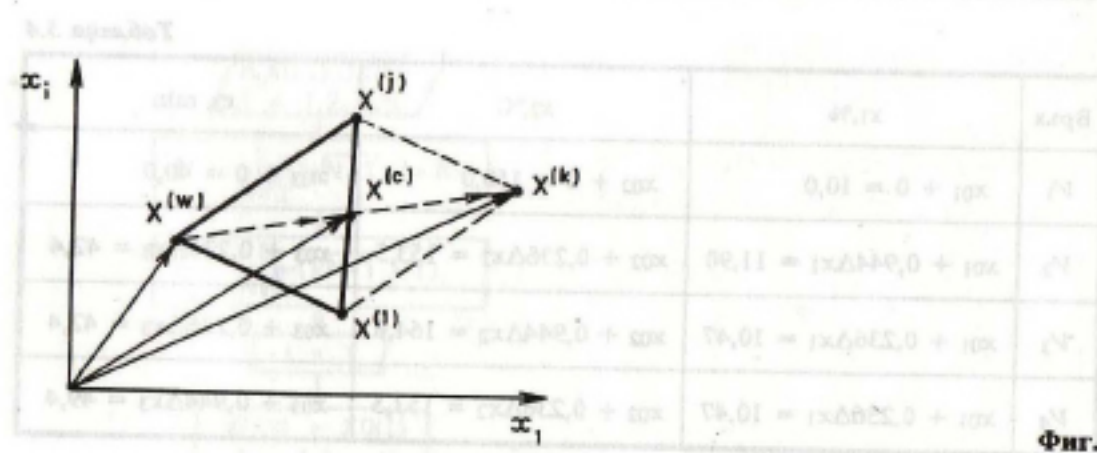
Като се замести $\mathbf{x}^{(c)}$ от (3.28) в (3.29), се получава

$$(3.30) \quad \mathbf{x}^{(k)} = \frac{2}{n} \sum_{j=1}^{n+1} \mathbf{x}^{(j)} - \left(\frac{2}{n} + 1 \right) \mathbf{x}^{(w)},$$

т.е. координатите за всеки управляващ параметър са

$$(3.30a) \quad x_i^{(k)} = \frac{2}{n} \sum_{j=1}^{n+1} x_i^{(j)} - \left(\frac{2}{n} + 1 \right) x_i^{(w)}, \quad i = 1, 2, \dots, n.$$

На фиг. 3.29 е илюстрирано определянето на $\mathbf{x}^{(k)}$ за двумерен симплекс.



Фиг. 3.29

Пример 3.3. Нека за формирания тримерен симплекс с координати, посочени в табл. 3.4, връх V_2 е с най-лош резултат за целевата функция. Координатите на отразения връх, изчислени по (3.30a), са:

$$x_1^{(2)} = \frac{2}{3}(10 + 11,9 + 10,47 + 10,47) - \left(\frac{2}{3} + 1\right)11,9 = 8,73\%,$$

$$x_2^{(2)} = \frac{2}{3}(150 + 153,5 + 164 + 153,5) - \left(\frac{2}{3} + 1\right)153,5 = 158,2^\circ\text{C},$$

$$x_3^{(2)} = \frac{2}{3}(40 + 42,4 + 42,4 + 49,4) - \left(\frac{2}{3} + 1\right)42,4 = 45,5 \text{ min.}$$

Блоковата схема на алгоритъма за определяне на връх с най-лош $x^{(w)}$ и с най-добър $x^{(b)}$ резултат за $Q(x)$, както и за изчисляване на координатите на нов връх $x^{(k)}$, който заменя $x^{(w)}$, е показана на фиг. 3.30.

Блоковата схема на алгоритъма за определяне на връх $x^{(w)}$ с резултат, следващ след най-лошия, е представена на фиг. 3.31.

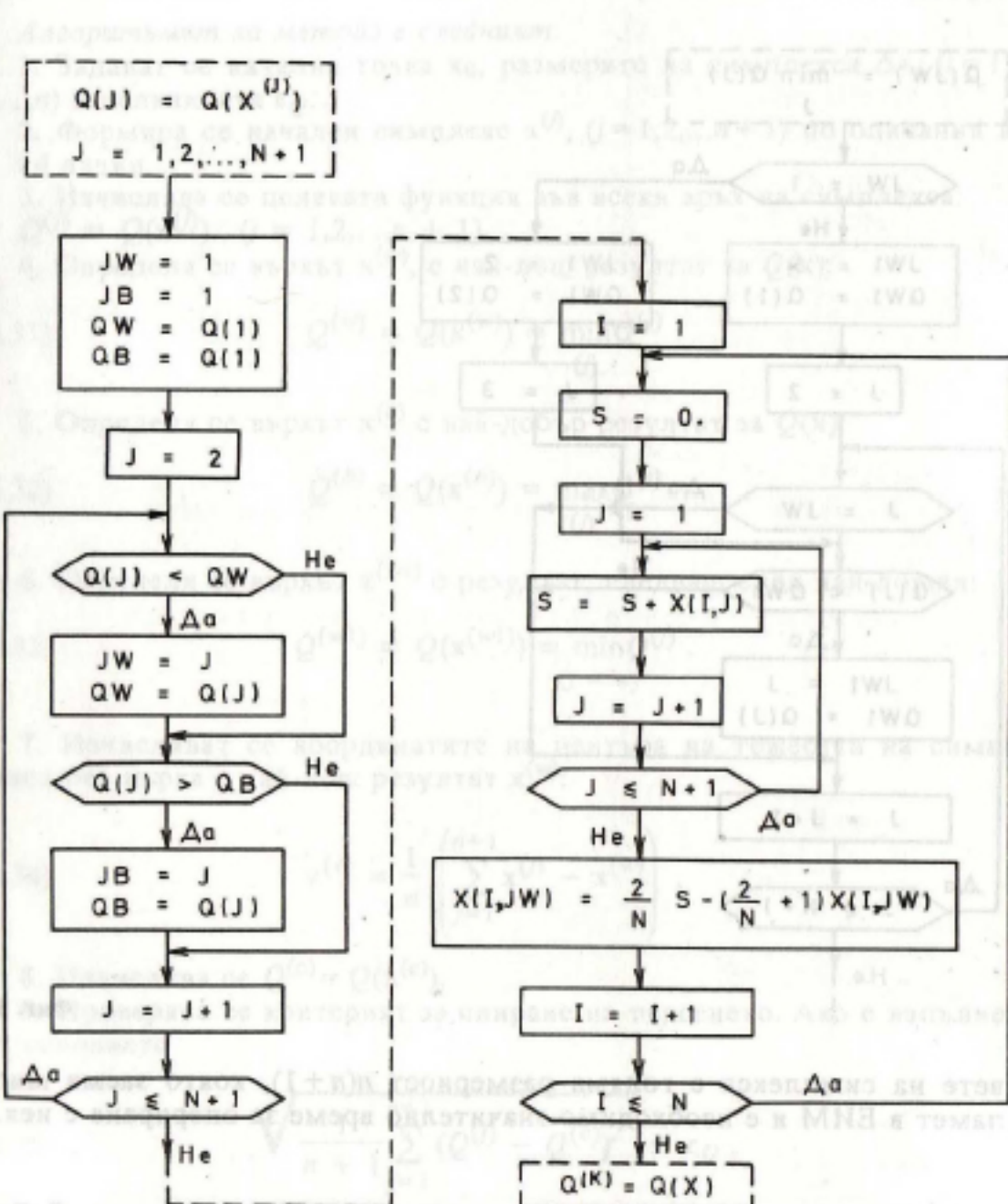
Предимства на симплексния метод

1. Методът е много ефективен при голям брой управляващи параметри $2 \leq n \leq 30 \div 50$, тъй като за изучаване на целевата повърхнина и движение по нея се прави само една стъпка независимо от броя на управляващите параметри.

2. Методът е приложим и за числена, и за експериментална оптимизация.

3. Размерите на симплекса могат да се изменят в зависимост от получаваните резултати при отразяване на върховете. Тази модификация е известна като метод на *деформируемия симплекс* или *метод на Нелдер – Мид* [147], разгледан в т. 3.5.

4. Симплексният метод е приложим при неограничена област на



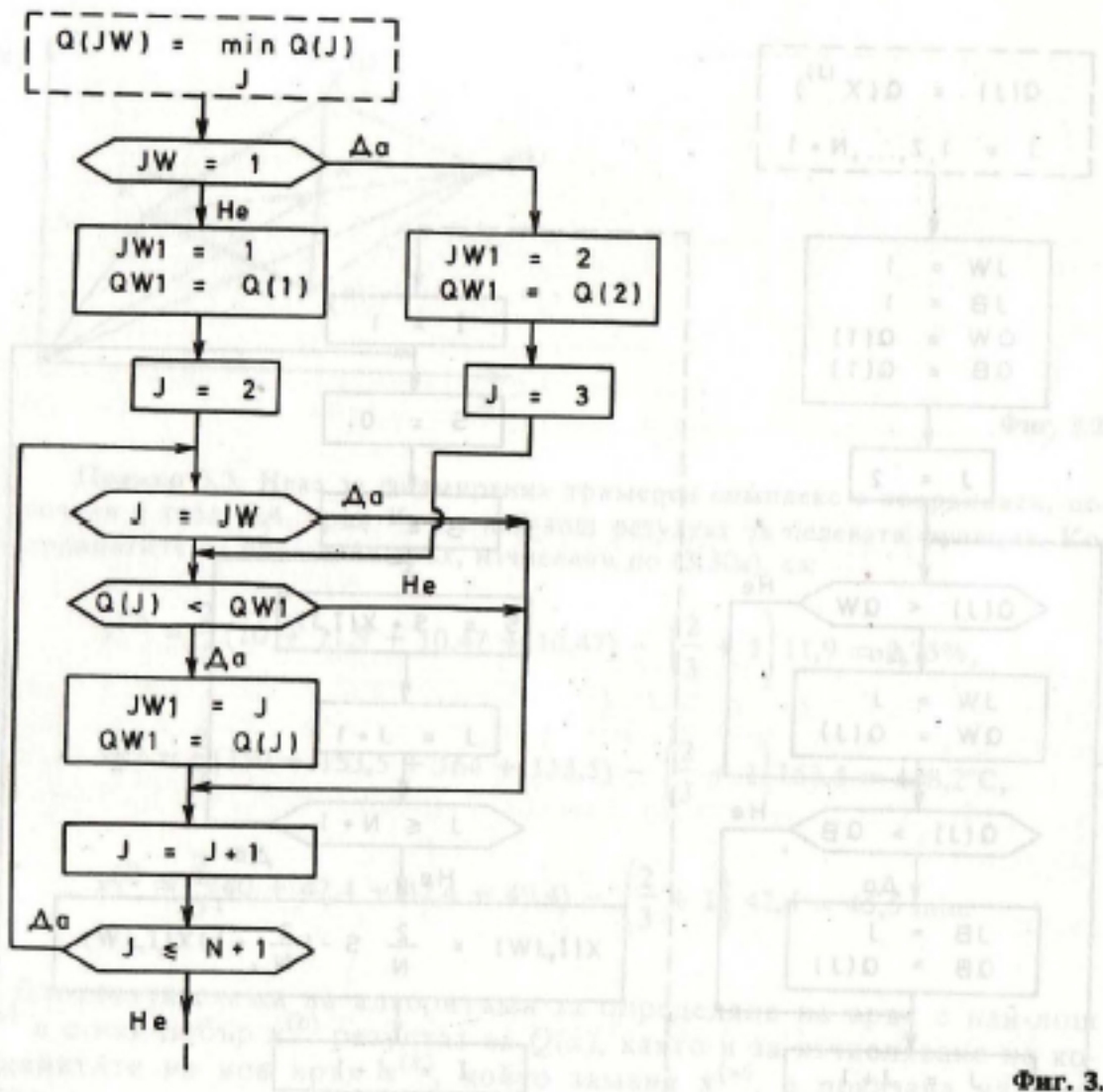
Фиг. 3.30

пространството за x . С известно преработване на алгоритъма той се прилага успешно и при $x \in \Gamma_x$.

Недостатъци на симплексния метод

1. Пътят към екстремума и скоростта на сходимост зависят от началната ориентация на симплекса.

2. При много голям брой управляващи параметри ($n > 50$) при числена оптимизация се получава матрица от координатите на върхо-



Фиг. 3.31

вете на симплекса с голяма размерност $n(n+1)$, която заема много памет в ЕИМ и е необходимо значително време за опериране с нея.

3.5. Метод на Нелдер – Мид

Скоростта на сходимост на симплексния метод съществено зависи от размера на симплекса. Ако симплексът е формиран далеч от екстремума и е с малки размери, той се придвижва до максимума много бавно. Ако размерите на симплекса са големи, екстремумът се локализира неточно.

Нелдер и Мид [147] са предложили метод на деформиращия симплекс, при който размерите на симплекса се изменят в зависимост от резултатите за целевата функция в процеса на търсенето. Симплексът може да се разтегля, свива и редуцира.

Алгоритъмът на метода е следният:

1. Задават се начална точка x_0 , размерите на симплекса Δx_i ($i = 1, 2, \dots, n$) и величината ϵ_Q .
2. Формира се начален симплекс $x^{(j)}$, ($j = 1, 2, \dots, n + 1$) по описания в т. 3.4 начин.
3. Изчислява се целевата функция във всеки връх на симплекса: $Q^{(j)} = Q(x^{(j)})$, ($j = 1, 2, \dots, n + 1$).
4. Определя се върхът $x^{(w)}$, с най-лош резултат за $Q(x)$:

$$(3.31) \quad Q^{(w)} = Q(x^{(w)}) = \min_{(j)} Q^{(j)}.$$

5. Определя се върхът $x^{(b)}$ с най-добър резултат за $Q(x)$:

$$(3.32) \quad Q^{(b)} = Q(x^{(b)}) = \max_{(j)} Q^{(j)}.$$

6. Определя се върхът $x^{(w1)}$ с резултат, следващ след най-лошия:

$$(3.33) \quad Q^{(w1)} = Q(x^{(w1)}) = \min_{(j \neq w)} Q^{(j)}.$$

7. Изчисляват се координатите на центъра на тежестта на симплекса без върха с най-лош резултат $x^{(c)}$:

$$(3.34) \quad x^{(c)} = \frac{1}{n} \left(\sum_{j=1}^{n+1} x^{(j)} - x^{(w)} \right).$$

8. Изчислява се $Q^{(c)} = Q(x^{(c)})$.

9. Проверява се критерият за спиране на търсенето. Ако е изпълнено условието

$$(3.35) \quad \sqrt{\frac{1}{n+1} \sum_{j=1}^{n+1} (Q^{(j)} - Q^{(c)})^2} \leq \epsilon_Q,$$

търсенето се прекратява и се отпечатват $x^{(b)}$ и $Q^{(b)}$. Иначе алгоритъмът продължава с т. 10.

10. Отразява се върхът с най-лош резултат и се изчисляват координатите на нов връх

$$(3.36) \quad x^{(N)} = x^{(c)} + \delta (x^{(c)} - x^{(w)}) ; \quad \delta > 0.$$

11. Изчислява се $Q^{(N)} = Q(x^{(N)})$.

12. Ако $Q^{(N)} \geq Q^{(b)}$, симплексът се разтегля и се изчислява нов връх